

Módulo de Teoría

Clase 9, 18-02-2021

Anamaría Font V.

Universidad Central de Venezuela

LA-CoNGA-physics

`mattermost.redclara.net@afont`



Latin American alliance for
Capacity building in Advanced physics
LA-CoNGA physics



Cofinanciado por el
programa Erasmus+
de la Unión Europea

UAN
UNIVERSIDAD NACIONAL



AV
VIAJES

UNIVERSIDAD
NACIONAL DE
INGENIERÍA

UNMSM



UNIVERSIDAD SIMÓN BOLÍVAR

Université
de Paris

TECHNISCHE
UNIVERSITÄT
DRESDEN

UNIVERSITÄT
DUISBURG
ESSEN

CRIS



ICTP



CLARA

DBACCESS

frontier x
ANALYTICS

Recap clase 8

$$\langle \Omega | T \{ \phi_H(x_1) \dots \phi_H(x_n) \} | \Omega \rangle$$

función de correlación de n-puntos

$$= \frac{\langle 0 | T \{ \phi_I(x_1) \dots \phi_I(x_n) \exp(-i \int_{-\infty}^{\infty} dt H_I) \} | 0 \rangle}{\langle 0 | T \{ \exp(-i \int_{-\infty}^{\infty} dt H_I) \} | 0 \rangle}$$

se calcula con $|0\rangle$ y $\phi_I(x)$

$$\begin{aligned} \phi_I(x) &= \int \frac{d^3p}{(2\pi)^3} \frac{1}{\sqrt{2E_{\vec{p}}}} (a_{\vec{p}} e^{-ip \cdot x} + a_{\vec{p}}^\dagger e^{ip \cdot x}) \\ &= \phi_I^+(x) + \phi_I^-(x) \end{aligned}$$

$$a_{\vec{p}} |0\rangle = 0$$

$$\phi_I^+ |0\rangle = 0$$

se calcula en expansión perturbativa

$$H_I = \int d^3x \mathcal{H}_I$$

en teoría $\lambda\phi^4$, $\mathcal{H}_I = \frac{\lambda}{4!} \phi_I^4$

$$\exp\left(-i \int_{-\infty}^{\infty} dt H_I\right) = \exp\left(-i \int d^4x \mathcal{H}_I\right)$$

$$= \underbrace{1}_{\text{orden 0}} - i \underbrace{\int d^4z \mathcal{H}_I(z)}_{\text{orden 1}} + \frac{(-i)^2}{2} \underbrace{\int d^4z \mathcal{H}_I(z)}_{\text{orden 2}} \underbrace{\int d^4w \mathcal{H}_I(w)}_{\dots} + \dots$$

el problema es evaluar e.g.

$$\langle 0 | T \{ \phi_I(x_1) \dots \phi_I(x_n) \phi_I^4(z) \} | 0 \rangle$$

Teorema de Wick

hay una relación entre ordenamiento temporal $T\{\phi_1 \dots \phi_N\}$
y ordenamiento normal $:\phi_1 \dots \phi_N:$

notación $\phi_1 = \phi_{\mathbf{x}_1}$

$$T\{\phi_1 \phi_2\} = \begin{cases} \phi_1 \phi_2, & t_1 > t_2 \\ \phi_2 \phi_1, & t_2 > t_1 \end{cases}, \quad :\phi_1 \dots \phi_N: = \text{producto con todos los } a_{\mathbf{p}}, \text{ equiv } \phi_i^+, \text{ a la derecha}$$

$$\langle 0 | : \phi_1 \dots \phi_N : | 0 \rangle = 0$$

Def: contracción de 2 campos

$$\begin{aligned} \overbrace{\phi_1 \phi_2} &= D_F(x_1 - x_2) = \Theta(x_1^0 - x_2^0) [\phi_1^+, \phi_2^-] + \Theta(x_2^0 - x_1^0) [\phi_2^+, \phi_1^-] \\ &= \int \frac{d^4 p}{(2\pi)^4} \frac{i}{p^2 - m^2 + i\epsilon} e^{-i p \cdot (x_1 - x_2)} \end{aligned}$$

Se demuestra

$$T\{\phi_1 \dots \phi_N\} = :\phi_1 \dots \phi_N: + \text{todas las contracciones posibles:}$$

Ejemplos

$$T\{\phi_1 \phi_2\} = :\phi_1 \phi_2: + \overbrace{\phi_1 \phi_2} \Rightarrow \langle 0 | T\{\phi_1 \phi_2\} | 0 \rangle = \overbrace{\phi_1 \phi_2} = D_F(x_1 - x_2)$$

$$\begin{aligned} T\{\phi_1 \phi_2 \phi_3 \phi_4\} &= :\phi_1 \phi_2 \phi_3 \phi_4: \\ &+ :\overbrace{\phi_1 \phi_2 \phi_3 \phi_4} + \overbrace{\phi_1 \phi_2 \phi_3} \phi_4 + \overbrace{\phi_1 \phi_2 \phi_3} \phi_4 + \overbrace{\phi_1 \phi_2 \phi_3} \phi_4 + \overbrace{\phi_1 \phi_2 \phi_3} \phi_4 + \overbrace{\phi_1 \phi_2 \phi_3} \phi_4: \\ &+ :\overbrace{\phi_1 \phi_2} \overbrace{\phi_3 \phi_4} + \overbrace{\phi_1 \phi_2 \phi_3} \phi_4 + \overbrace{\phi_1 \phi_2 \phi_3} \phi_4: \end{aligned}$$

$$\langle 0 | T\{\phi_1 \phi_2 \phi_3 \phi_4\} | 0 \rangle = D_F(x_1 - x_2) D_F(x_3 - x_4) + D_F(x_1 - x_3) D_F(x_2 - x_4) + D_F(x_1 - x_4) D_F(x_2 - x_3)$$

Diagramas de Feynman

$$\langle 0 | T \{ \phi_1 \phi_2 \} | 0 \rangle = \overline{\phi_1 \phi_2} = D_F(x_1 - x_2) = \begin{array}{c} x_1 \quad x_2 \\ \bullet \text{-----} \bullet \end{array}$$

$$\langle 0 | T \{ \phi_1 \phi_2 \phi_3 \phi_4 \} | 0 \rangle = \begin{array}{c} \begin{array}{c} \overset{1}{\bullet} \text{-----} \overset{2}{\bullet} \\ \underset{3}{\bullet} \text{-----} \underset{4}{\bullet} \end{array} + \begin{array}{c} \overset{1}{\bullet} \text{-----} \underset{3}{\bullet} \\ \overset{2}{\bullet} \text{-----} \underset{4}{\bullet} \end{array} + \begin{array}{c} \overset{1}{\bullet} \text{-----} \underset{3}{\bullet} \\ \overset{2}{\bullet} \text{-----} \underset{4}{\bullet} \end{array} \end{array}$$
$$= D_F(x_1 - x_2) D_F(x_3 - x_4) + D_F(x_1 - x_3) D_F(x_2 - x_4) + D_F(x_1 - x_4) D_F(x_2 - x_3)$$

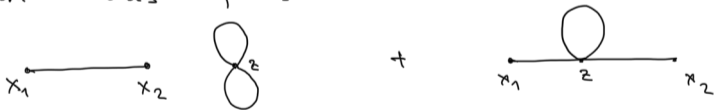
- * Por cada operador externo en x_i se dibuja un punto
- * se ven las maneras de unir puntos a pares sin dejar sueltos (corresponde a las maneras de contraer totalmente)
- * Cada unión (= contracción = propagador) se representa por una línea entre los puntos

Se quiere evaluar términos en la expansión perturbativa, e.g.



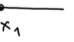
$$\langle 0 | T \{ \phi(x_1) \phi(x_2) \left(\frac{-i\lambda}{4!} \right) \int d^4z \phi(z) \phi(z) \phi(z) \phi(z) \} | 0 \rangle$$

con    vértice (4 patas $\phi(z)$)
patas externas

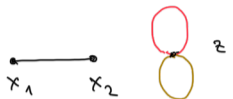
se arman todos los diagramas en los cuales todas las patas quedan unidas a pares



cada diagrama se transcribe usando reglas de Feynman

- ①  = $D_F(x_1 - x_2)$ ②  = $(-i\lambda) \int d^4z$ ③  = 1 ④ se divide por factor de simetría


Ejemplo



$$= \frac{(-i\lambda)}{8} \int d^4z D_F(x_1-x_2) D_F(z-z) D_F(z-z)$$


Notar que el integrando no depende de z , $\int d^4z \sim VT$
 ocurre siempre que en el diagrama hay "burbujas de vacío"
 (subdiagramas desconectados de todos los puntos externos).

$\int d^4z \rightarrow \infty$ corresponde a $\delta^{(4)}(0)$ en espacio de momentos



$$\begin{aligned} &\sim (2\pi)^4 \delta^{(4)}(p_1+p_2-p_1-p_2) \\ &= (2\pi)^4 \delta^4(0) \\ &= \int d^4z \sim VT \end{aligned}$$

Factor de simetría
 calculando $3 \frac{(-i\lambda)}{4!} = -\frac{i\lambda}{8}$

"visual"  $2 \times 2 \times 2$

Funciones de correlación y diagramas conexos

$$(*) \langle 0 | T \{ \phi(x_1) \phi(x_2) \exp(-\frac{i\lambda}{4!} \int d^4z \phi^4(z)) \} | 0 \rangle$$

$$= \text{---} + [\text{---} \circ + \text{---} \bigcirc] + [\text{---} \circ \circ + \text{---} \bigcirc + \text{---} \bigcirc + \dots] + \dots$$

area 3

incluye diagramas desconexos (con subdiagramas desconectados de x_1, x_2)

e.g.

$$\text{---} \circ, \quad \text{---} \bigcirc, \quad \text{etc}$$

hay burbujas de vacío proporcionales a $(2\pi)^4 \delta^{(4)}(0) = \int d^4z$

Estas burbujas también aparecen en el denominador de

$$\langle 0 | T \{ \phi_H(x_1) \phi_H(x_2) \} | 0 \rangle = \frac{(*)}{\langle 0 | T \{ \exp(-\frac{i\lambda}{4!} \int d^4z \phi^4) \} | 0 \rangle}$$

tiene expansión perturbativa \nearrow

$$\langle 0 | T \left\{ \exp\left(-\frac{i\lambda}{4!} \int d^4z \phi^4\right) \right\} | 0 \rangle$$

$$= \langle 0 | 1 - \frac{i\lambda}{4!} \int d^4z \phi^4(z) + \frac{1}{2} \left(-\frac{i\lambda}{4!}\right)^2 \int d^4z \int d^4w T\{\phi^4(z)\phi^4(w)\} + \dots | 0 \rangle$$

se calcula orden por orden usando teorema de Wick

λ : un vértice



3

λ^2 : dos vértices



9

72

24

$$E_n = \frac{\langle 0 | T \{ \phi(x_1) \phi(x_2) \exp(-\frac{i\lambda}{4!} \int d^4z \phi^4) \} | 0 \rangle}{\langle 0 | T \{ \exp(-\frac{i\lambda}{4!} \int d^4z \phi^4) \} | 0 \rangle}$$

se cancelan
las burbujas

"demo"

$$\frac{(\text{---} + \text{---} \circ + \text{---} \circ \circ + \dots)}{(1 + \circ + \dots)}$$

$$\frac{1}{1+r} = 1 - r + \dots, r \ll 1$$

$$= (\text{---} + \text{---} \circ + \text{---} \circ \circ + \dots) (1 - \circ + \dots)$$

$$= \text{---} + \text{---} \circ + \text{---} \circ \circ - \text{---} \circ \circ + \dots$$

Se demuestra

$$\langle 0 | T \left\{ \exp\left(-\frac{i\lambda}{4!} \int d^4z \phi^4\right) \right\} | 0 \rangle$$

$$= (1 + \text{loop} + \text{two loops} + \text{bubble} + \text{two loops} + \dots)$$

$$= \exp(\text{loop} + \text{two loops} + \text{bubble} + \dots)$$

$$\langle 0 | T \left\{ \phi(x_1) \phi(x_2) \exp\left(-\frac{i\lambda}{4!} \int d^4z \phi^4\right) \right\} | 0 \rangle$$

$$= (\text{tree} + \text{one loop} + \text{two loops} + \text{bubble} + \dots) \underbrace{(1 + \text{loop} + \text{two loops} + \text{bubble} + \text{two loops} + \dots)}_{\exp(\text{loop} + \text{two loops} + \text{bubble} + \dots)}$$

$\exp(\text{burbujas})$ se cancela en el cociente

$$\langle \Omega | T \{ \phi_{\#}(x_1) \dots \phi_{\#}(x_n) \} | \Omega \rangle$$

= Suma de todos los diagramas
conectados con n puntos externos

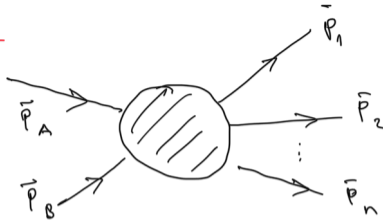
Ejemplo

$$\langle \Omega | T \{ \phi_{\#}(x_1) \phi_{\#}(x_2) \} | \Omega \rangle = \text{---} + \text{---} \circ + \text{---} \circ \circ + \text{---} \circ \text{---} + \dots$$

↑
Tarea 3 : comprobar,
transcribir usando reglas
de Feynman

SCATTERING

estado inicial
o entrante (in)
 $t \rightarrow -\infty$



estado final
o saliente (out)
 $t \rightarrow \infty$

estado $|\vec{p}_A, \vec{p}_B\rangle_{in}$: partículas de momento definido, muy separadas

chocan (interactúan), salen partículas de momento $\vec{p}_1, \vec{p}_2, \dots$,
observadas mucho después, lejos del lugar de interacción \rightarrow estado $|\vec{p}_1, \vec{p}_2\rangle_{out}$

La amplitud de probabilidad de transición es

$$\langle \vec{p}_1, \vec{p}_2 | \vec{p}_A, \vec{p}_B \rangle_{in} \equiv \langle \vec{p}_1, \vec{p}_2 | S | \vec{p}_A, \vec{p}_B \rangle$$

S : matriz S

\leftarrow aquí $|\vec{p}_A, \vec{p}_B\rangle, |\vec{p}_1, \vec{p}_2\rangle$
definidos en un tiempo
de referencia común

Si no hay interacciones, $S = 1$, la parte no trivial viene de la matriz $\hat{\mathcal{E}}$ definida por

$$S = 1 + i\hat{\mathcal{E}}$$

S , y por lo tanto $\hat{\mathcal{E}}$, debe incluir $\delta^{(4)}(p_A + p_B - \sum p_f)$ por conservación de momento y energía.
 $p_1 + p_2 + \dots + p_n$

Se define la matriz \mathcal{M}

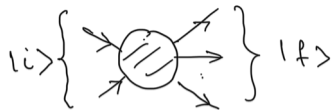
$$\langle \bar{p}_1 \bar{p}_2 \dots | i\hat{\mathcal{E}} | \bar{p}_A \bar{p}_B \rangle = (2\pi)^4 \delta^{(4)}(p_A + p_B - \sum p_f) i\mathcal{M}(p_A, p_B \rightarrow p_f)$$

\mathcal{M} se calcula usando diagramas de Feynman

M y sección eficaz

simplificando notación

$$S_{fi} = \delta_{fi} + i(2\pi)^4 \delta^{(4)}(p_i - p_f) M_{fi}$$



1) tasa de transición para ir de $|i\rangle$ a $|f\rangle$

$$R_{fi} = \frac{1}{T} \left(\frac{|S_{fi}|^2}{\langle f|f\rangle \langle i|i\rangle} \right)$$

probabilidad por unidad de tiempo
 T : tiempo total del experimento

la interacción viene de M_{fi} . la norma cuadrada incluye

$$\begin{aligned} \left[(2\pi)^4 \delta^{(4)}(p_i - p_f) \right]^2 &= (2\pi)^4 \delta^{(4)}(p_i - p_f) \times (2\pi)^4 \delta^{(4)}(p_f - p_i) \\ &= (2\pi)^4 \delta^{(4)}(p_i - p_f) \times (2\pi)^4 \delta^{(4)}(0) \\ &= (2\pi)^4 \delta^{(4)}(p_i - p_f) \times VT \end{aligned}$$

V : volumen total del experimento

al final los factores de V se cancelan. también aparecen en $\langle i|i \rangle$ y $\langle f|f \rangle$.

$$\langle \bar{p} | \bar{p}' \rangle = (2\pi)^3 2E_{\bar{p}} \delta^{(3)}(\bar{p} - \bar{p}')$$

$$\langle \bar{p} | \bar{p} \rangle = (2\pi)^3 2E_{\bar{p}} \delta^{(3)}(0) = 2E_{\bar{p}} V$$

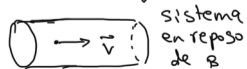
$$\langle i|i \rangle = (2E_A V)(2E_B V) \quad , \quad \langle f|f \rangle = (2E_1 V)(2E_2 V) \dots (2E_n V)$$

2) sección eficaz σ

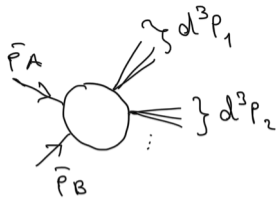
$$\sigma = \frac{\text{rata de transición}}{\text{flujo incidente}}$$

área efectiva de choque

$$\begin{aligned} \text{flujo incidente} &= \# \text{ de partículas incidentes por unidad de área por unidad de tiempo} = \frac{|\vec{v}|}{V} \\ &= \frac{|\vec{v}_A - \vec{v}_B|}{V} \quad \text{en otro sistema} \end{aligned}$$



3) sección eficaz diferencial



$$d\sigma = \frac{R_{fi} V}{|\vec{v}_A - \vec{v}_B|} d\pi$$

$$d\pi = \left(\frac{V}{(2\pi)^3} d^3p_1 \right) \left(\frac{V}{(2\pi)^3} d^3p_2 \right) \dots$$

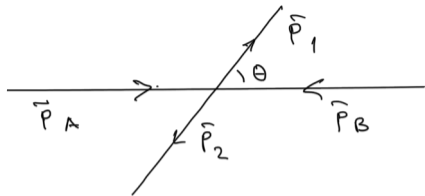
sustituyendo ...

$$d\sigma = \frac{|\mathcal{M}|^2}{(2E_A)(2E_B)|\vec{v}_A - \vec{v}_B|} d\pi_{\text{LIPS}}$$

LIPS = Lorentz invariant
Phase space

$$d\pi_{\text{LIPS}} = (2\pi)^4 \delta^{(4)}(p_A + p_B - \sum p_f) \frac{d^3p_1}{(2\pi)^3 (2E_1)} \frac{d^3p_2}{(2\pi)^3 (2E_2)} \dots \frac{d^3p_n}{(2\pi)^3 (2E_n)}$$

$A + B \rightarrow 1 + 2$ en CM



$$\vec{P}_A = -\vec{P}_B$$

$$\vec{P}_1 = -\vec{P}_2$$

$$E_A + E_B = E_1 + E_2 = E_{CM}$$

$$d\Omega = \sin\theta d\theta d\phi$$

$$\left(\frac{d\sigma}{d\Omega}\right)_{CM} = \frac{|M|^2}{64\pi^2 E_{CM}^2} \frac{|\vec{P}_1|}{|\vec{P}_A|} \Theta(E_{CM} - m_1 - m_2)$$

si $m_1 = m_2 = m_A = m_B$

$$\left(\frac{d\sigma}{d\Omega}\right)_{CM} = \frac{|M|^2}{64\pi^2 E_{CM}^2}$$

M. Schwartz, Quantum Field Theory and the Standard Model

Próximamente

Calcular M usando diagramas de Feynman



<http://laconga.redclara.net>



contacto@laconga.redclara.net



lacongaphysics



Latin American alliance for
Capacity building in Advanced physics

LA-CoNGA physics



Cofinanciado por el
programa Erasmus+
de la Unión Europea

El apoyo de la Comisión Europea para la producción de esta publicación no constituye una aprobación del contenido, el cual refleja únicamente las opiniones de los autores, y la Comisión no se hace responsable del uso que pueda hacerse de la información contenida en la misma.